

## ЛАЗЕРНОЕ ДЕЙСТВИЕ В *a-Si:H*

*А.М.Данишевский, В.Латинис, С.Юриценас, В.И.Гаврюшин,  
М.М.Мездрогина, Е.И.Теруков*

*Физико-технический институт им. А.Ф.Иоффе РАН  
194021, Санкт-Петербург*

Поступила в редакцию 25 мая 1992 г.

При измерениях спектров фотолюминесценции на пленках аморфного гидрогенизированного кремния ( $T \sim 80\text{ K}$ ) с интенсивным пикосекундным возбуждением наблюдалось лазерное действие между определенными энергетическими состояниями в хвостах зон. Выбор энергии генерации определяется селективным резонатором, выделенные энергии которого связаны с толщиной пленки.

Фотолюминесценция аморфного гидрогенизированного кремния исследована достаточно подробно как при непрерывном, так и при импульсном возбуждении<sup>1,2</sup>. Обычный спектр собственной фотолюминесценции представляет собой широкую спектральную полосу ( $0,22$ – $0,25$ ) эВ с максимумом около  $1,33$ – $1,35$  эВ ( $80\text{ K}$ ). Кроме того, имеется небольшая полоса дефектной люминесценции с максимумом  $0,9$  эВ и также достаточно широкая.

В случае импульсного (длительность импульсов несколько наносекунд) возбуждения<sup>2</sup> максимум полосы собственной люминесценции в начальные моменты времени оказывается вблизи  $1,4$  эВ, а коротковолновый "хвост" ее достигает при значительном уровне возбуждения энергии  $1,6$  эВ.

Как правило, спектры люминесценции измеряются на пленках, осажденных на матированных подложках для исключения возможных проявлений интерференционных эффектов. При этом во всех известных нам случаях полоса собственной люминесценции была широкой и бесструктурной.

В данной работе исследовались спектры фотолюминесценции с интенсивным пикосекундным возбуждением на нескольких нелегированных образцах *a-Si:H*, осажденных на полированную кварцевую подложку. Образцы были получены в тетродной системе в высокочастотном тлеющем разряде при разложении чистого силана, температура подложки равнялась  $280^\circ\text{C}$ . Оптическая ширина энергетического зазора в использованных для эксперимента образцах составляла  $1,85$ – $1,9$  эВ, а энергия Ферми отстояла от дна зоны проводимости на  $0,8$ – $0,95$  эВ. Концентрация собственных дефектов не превышала  $8 \cdot 10^{15} \text{ см}^{-3}$ . Приведенные результаты получены на образце с минимальной концентрацией дефектов ( $N_d = 3 \cdot 10^{15} \text{ см}^{-3}$ ), наименьшим энергетическим параметром урбаховского хвоста ( $E_u = 50$  мэВ) в спектре поглощения и энергией активации  $0,92$  эВ. Исходя из наличия участка УФ фотопроводимости для пленки с толщиной  $0,95$  мкм, можно сделать вывод о малой скорости поверхностной рекомбинации и отсюда о бесстолбчатости пленки.

Возбуждение образцов осуществлялось излучением второй гармоники YAG:Nd-лазера ( $\nu = 2,33$  эВ), работавшего в режиме одиночных пикосекундных импульсов (35 пс) с частотой 2 Гц. Образцы устанавливались на холодопровод азотного вакуумного криостата. Температура их была  $80\text{ K}$ . Измерения проводились в геометрии "на отражение" от поверхности пленки. Регистрация спектров люминесценции осуществлялась с помощью монохроматора МДР-2 с ФЭУ-83. Во избежание регистрации рассеянного света возбуждающих импульсов на его переднюю щель устанавливался фильтр ОС-14, а на линзу, фокусирующую рекомбинационное излучение на переднюю щель монохроматора – фильтр ОС-12. Электрические сигналы с ФЭУ поступали на широкополосный

усилитель с полосой пропускания  $(0,7 - 10) \cdot 10^6$  Гц и далее на стробирующий преобразователь В9-5, с которого оцифрованные сигналы через блоки "Камак" попадали на микроЭВМ ДВК-2. При записи спектра, каждая спектральная точка получалась в результате усреднения по 30 - 40 импульсам в заданном интервале амплитуд возбуждающих импульсов.

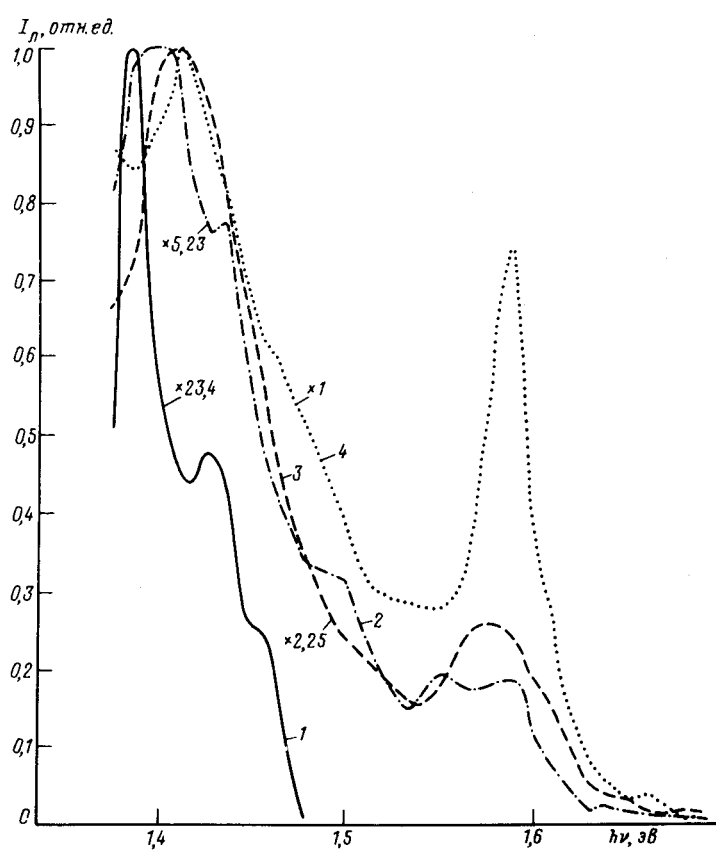


Рис.1. Спектры фотолюминесценции образца *a*-Si:H (M912) при интенсивном пикосекундном возбуждении,  $T = 80\text{K}$ . Средняя энергия возбуждающих импульсов: 1 – 1,1 мкДж, 2 – 2,25 мкДж, 3 – 6,45 мкДж, 4 – 17 мкДж

На рис.1 приведены спектры люминесценции образца M912, полученные в описанных выше условиях при четырех значениях энергии возбуждающих импульсов. Все четыре спектра измерены с задержкой 80 нс от начала импульса<sup>1)</sup>.

Спектр 1, полученный при минимальных интенсивностях импульсов возбуждения, как видно из рисунка, оказался существенно более узким в сравнении с 2, причем ширина линии 1,39 эВ менее 20 мэВ. Спектр 2, полученный при более высокой интенсивности возбуждающего излучения, оказался существенно

<sup>1)</sup>Переходная характеристика использованного усилителя ФЭУ не позволяла задать истинный момент стробирования оптического импульса люминесценции. Однако спектры, полученные при различных задержках строба, существенно различались.

шире, максимум и коротковолновая часть спектра сдвинуты в область более высоких энергий ( $h\nu = 1,405$  эВ), уширение основной полосы неоднородное, можно предположить, что оно является результатом наложения двух более узких полос с энергиями 1,395 и 1,41 эВ. В спектре имеется еще несколько небольших максимумов. Спектр 3, полученный при еще более высокой интенсивности возбуждения, еще более уширен, основной его максимум имеет место при энергии 1,415 эВ, а при энергии 1,59 эВ возникает довольно широкая полоса излучения. Максимум спектра 4 также имеет энергию 1,415 эВ, далее с коротковолновой стороны имеется плечо, а при энергии 1,59 эВ теперь возникает узкий интенсивный пик.

Следует также обратить внимание на существенно сверхлинейное нарастание полос люминесценции от интенсивности накачки в области относительно малых интенсивностей (спектры 1 и 2) и значительное выполаживание этой зависимости (в окрестности основной полосы) при больших интенсивностях возбуждающего излучения.

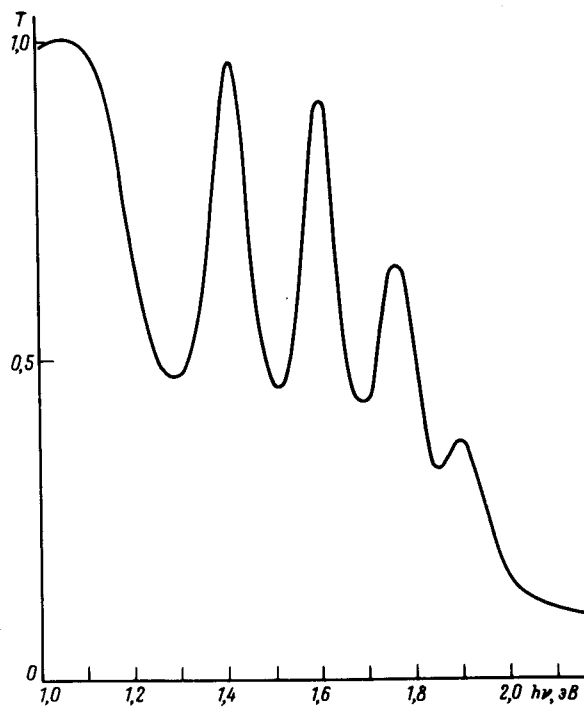


Рис.2. Спектр пропускания образца  $\alpha$ -Si:H (M912),  $T = 300$  К

Оценки показывают, что даже в случае минимальной интенсивности накачки избыточная концентрация носителей, возбужденных за один импульс, превышает  $10^{19} \text{ см}^{-3}$ . Поэтому, исходя из характера приведенных спектров, можно предположить, что уже при наименьших интенсивностях возбуждения в пленке имеет место лазерный эффект в окрестности энергии 1,39 эВ. С увеличением интенсивности накачки осуществляется расширение всего спектра люминесценции в область больших энергий квантов. Полоса 1,39 эВ, по-видимому, насыщается, но при этом лазерное действие возникает на близлежащих пере-

ходах и спектральная полоса в окрестности 1,4 эВ уширяется и сдвигается в коротковолновую сторону. Указанное поведение спектра связано с тем, что с ростом темпа генерации в указанном диапазоне заполняются состояния в хвостах зон, причем характерные времена "рассасывания" этой населенности довольно велики (микросекунды). При достаточно больших интенсивностях  $I$ , когда все нижние состояния оказываются заполненными, разгорается лазерное действие в полосе 1,59 эВ.

В этой связи возникает вопрос, чем выделены в спектре люминесценции энергии в окрестности 1,4 и 1,59 эВ? Ответ на этот вопрос дали измерения спектра пропускания пленок. На рис.2 приведен спектр  $T(h\nu)$  для образца M912. В области его прозрачности имеются интерференционные максимумы, причем в диапазон спектра люминесценции попадают два из них с энергиями в пике пропускания 1,405 и 1,59 эВ. Таким образом, в окрестности указанных энергий пленка представляет собой одномодовый резонатор с очень малыми потерями, что способствует выделению указанных энергий в спектре суперлюминесценции.

Спектры люминесценции, полученные при задержке строба 180 нс аналогичны приведенным, однако при еще большей задержке (580 нс) узкие полосы в спектре почти исчезают, то есть инверсная населенность успевает релаксировать.

- 
1. R.A.Street, Adv. Phys. **30**, 593 (1981).
  2. S.Kurita, M.Czaja, and S.Kinmond, Sol. St. Commun. **32**, 879 (1979).